



Министерство науки и высшего образования Российской Федерации
Федеральное государственное бюджетное образовательное учреждение
высшего образования
«Московский государственный технический университет
имени Н.Э. Баумана
(национальный исследовательский университет)»
(МГТУ им. Н.Э. Баумана)

ФАКУЛЬТЕТ «Информатика и системы управления»

КАФЕДРА «Программное обеспечение ЭВМ и информационные технологии»

Лабораторная работа № 4

Дисциплина: Моделирование

Тема: Программно-алгоритмическая реализация моделей на основе дифференциальных уравнений в частных производных с краевыми условиями II и III рода.

Студент Мирзоян С. А.

Группа ИУ7-65Б

Оценка (баллы) _____

Преподаватель Градов В.М.

Цель работы: Получение навыков разработки алгоритмов решения смешанной краевой задачи при реализации моделей, построенных на квазилинейном уравнении параболического типа.

Исходные данные.

1. Уравнение для функции $T(x)$:

$$c(T) \frac{\partial T}{\partial t} = \frac{\partial}{\partial x} (k(T) \frac{\partial T}{\partial x}) - \frac{2}{R} \alpha(x) T + \frac{2T_0}{R} \alpha(x)$$

2. Краевые условия:

$$\begin{cases} t = 0, & T(x,0) = T_0, \\ x = 0, & -k(T(0)) \frac{\partial T}{\partial x} = F_0, \\ x = l, & -k(T(l)) \frac{\partial T}{\partial x} = \alpha_N (T(l) - T_0) \end{cases}$$

3. Разностная схема с разностным краевым условием $x = 0$

$$\widehat{A_n \mathcal{Y}_{n-1}} - \widehat{B_n \mathcal{Y}_n} + \widehat{D_n \mathcal{Y}_{n+1}} = -\widehat{F_n} \quad (1)$$

Разностный аналог краевого условия при $x=l$ интегро-интерполяционным методом, (интегрируя на отрезке $[x_{N-1/2}, x_N]$ уравнение (1))

$$\begin{aligned} \widehat{F_N} &= \alpha_N (\widehat{\mathcal{Y}_N} - T_0) \\ \widehat{F_{N-1/2}} &= \chi_{N-1/2} \frac{\widehat{\mathcal{Y}_{N-1}} - \widehat{\mathcal{Y}_N}}{h} \end{aligned}$$

Приведя к общему виду, получаем (2):

$$\begin{aligned} & \left(\frac{h}{4} \widehat{c_N} + \frac{h}{8} \widehat{c_{N-1/2}} + \alpha_N \tau + \frac{\tau}{h} \chi_{N-1/2} + \frac{h}{4} \tau p_N + \frac{h}{8} \tau p_{N-1/2} \right) \mathcal{Y}_N + \\ & + \left(\frac{h}{8} \widehat{c_{N-1/2}} - \frac{\tau}{h} \chi_{N-1/2} + \frac{h}{8} \tau p_{N-1/2} \right) \cdot \\ & \cdot \mathcal{Y}_{N-1} = \frac{h}{4} \widehat{c_N} \mathcal{Y}_N + \frac{h}{8} \widehat{c_{N-1/2}} (\mathcal{Y}_N + \mathcal{Y}_{N-1}) + \tau \alpha_N T_0 + \frac{h}{4} \tau (\widehat{f_N} + \widehat{f_{N-1/2}}) \end{aligned}$$

Простая аппроксимация:

$$p_{N-1/2} = \frac{p_N + p_{N-1}}{2}, \widehat{f_{N-1/2}} = \frac{\widehat{f_N} + \widehat{f_{N-1}}}{2}, \widehat{c_{N-1/2}} = \frac{\widehat{c_N} + \widehat{c_{N-1}}}{2}$$

Если принять $c(u) = 0$, сократить τ , формула (2) перейдет в формулу для разностного краевого условия при $x=l$ из предыдущей лабораторной работы.

Физическое смысл задачи.

1. Сформулированная в данной работе математическая модель описывает нестационарное температурное поле $T(x,t)$, зависящее от координаты x и меняющееся во времени.

2. Свойства материала стержня привязаны к температуре, т.е. теплоемкость и коэффициент теплопроводности $c(T)$, $k(T)$ зависят от T , тогда как в работе №3 $k(x)$ зависит от координаты, а $c = 0$.

3. При $x = 0$ цилиндр нагружается тепловым потоком $F(t)$, в общем случае зависящим от времени, а в работе №3 поток был постоянный.

Если в настоящей работе задать поток постоянным, т.е. $F(t) = \text{const}$, то будет происходить формирование температурного поля от начальной температуры T_0 до некоторого установившегося (стационарного) распределения $T(x,t)$. Это поле в дальнейшем с течением времени меняться не будет и должно совпасть с температурным распределением $T(x)$, получаемым в лаб. работе №3, если все параметры задач совпадают, в частности, вместо $k(T)$ надо использовать $k(x)$ из лаб. работы №3. Это полезный факт для тестирования программы.

Если после разогрева стержня положить поток $F(t) = 0$, то будет происходить остывание, пока температура не выровняется по всей длине и не станет равной T_0 .

При произвольной зависимости потока $F(t)$ от времени температурное поле будет как-то сложным образом отслеживать поток.

Замечание. Варьируя параметры задачи, следует обращать внимание на то, что решения, в которых температура превышает примерно 2000К, физического смысла не имеют и практического интереса не представляют.

Листинг.

```
1. from numpy import arange
2. import matplotlib.pyplot as plt
3.
4. class Data:
5.     x0 = 0
6.     l = 10          # Длина стержня (см)
7.     R = 0.5         # Радиус стержня (см)
8.     Tenv = 300      # Температура окружающей среды (K)
9.     F0 = 100        # Плотность теплового потока (W / (cm^2 * K))
10.    k0 = 0.1         # Коэффициент теплопроводности в начале стержня (W /
                        (cm * K))
11.    kN = 0.2         # Коэффициент теплопроводности в конце стержня (W / (cm
                        * K))
12.    alpha0 = 1e-2    # Коэффициент теплоотдачи в начале стержня (W / (cm^2 *
                        K))
13.    alphaN = 9e-2    # Коэффициент теплоотдачи в конце стержня (W / (cm^2 *
                        K))
14.    h = 1e-2
15.    bk = (kN * l) / (kN - k0)
16.    ak = - k0 * bk
17.    b_alpha = (alphaN * l) / (alphaN - alpha0)
18.    a_alpha = - alpha0 * b_alpha
19.
20.
21.    @staticmethod
22.    def k(x):
23.        return Data.ak / (x - Data.bk)
24.
25.    @staticmethod
26.    def alpha(x):
27.        return Data.a_alpha / (x - Data.b_alpha)
28.
29.    @staticmethod
30.    def Xn_plus_half(x):
31.        return (2 * Data.k(x) * Data.k(x + Data.h)) / \
32.            (Data.k(x) + Data.k(x + Data.h))
33.
```

```

34.         @staticmethod
35.         def Xn_minus_half(x):
36.             return (2 * Data.k(x) * Data.k(x - Data.h)) / \
37.                 (Data.k(x) + Data.k(x - Data.h))
38.
39.         @staticmethod
40.         def p(x):
41.             return 2 * Data.alpha(x) / Data.R
42.
43.         @staticmethod
44.         def f(x):
45.             return 2 * Data.alpha(x) / Data.R * Data.Tenv
46.
47.
48.         def thomas_algorithm(A, B, C, D, K0, M0, P0, KN, MN, PN): # Tridiagonal
matrix algorithm
49.             # Initial values
50.             xi = [None, - M0 / K0]
51.             eta = [None, P0 / K0]
52.
53.             # Straight running
54.             for i in range(1, len(A)):
55.                 x = C[i] / (B[i] - A[i] * xi[i])
56.                 e = (D[i] + A[i] * eta[i]) / (B[i] - A[i] * xi[i])
57.
58.                 xi.append(x)
59.                 eta.append(e)
60.
61.             # print(xi)
62.             # print(eta)
63.
64.             # Reverse running
65.             y = [(PN - MN * eta[-1]) / (KN + MN * xi[-1])]
66.
67.             for i in range(len(A) - 2, -1, -1):
68.                 y_i = xi[i + 1] * y[0] + eta[i + 1]
69.
70.                 y.insert(0, y_i)
71.
72.             return y

```

```

73.
74.
75.
76.
77.
78.     def left_boundary_conditions():
79.         X_half = Data.Xn_plus_half(Data.x0)
80.         p1 = Data.p(Data.x0 + Data.h)
81.         f1 = Data.f(Data.x0 + Data.h)
82.
83.         p0 = Data.p(Data.x0)
84.         f0 = Data.f(Data.x0)
85.
86.         p_half = (p0 + p1) / 2
87.
88.         K0 = X_half + Data.h * Data.h * p_half / 8 + Data.h * Data.h * p0 / 4
89.         M0 = Data.h * Data.h * p_half / 8 - X_half
90.         P0 = Data.h * Data.F0 + Data.h * Data.h * (3 * f0 + f1) / 4
91.
92.         return K0, M0, P0
93.
94.
95.     def right_boundary_conditions():
96.         X_half = Data.Xn_minus_half(Data.l)
97.
98.         pN = Data.p(Data.l)
99.         pN1 = Data.p(Data.l - Data.h)
100.        fN = Data.f(Data.l)
101.        fN1 = (2 * Data.alpha(Data.l - Data.h)) / Data.R * Data.Tenv
102.
103.        KN = - (X_half + Data.alphaN * Data.h) / Data.h - Data.h * (5 * pN +
            pN1) / 16
104.        MN = X_half / Data.h - Data.h * (pN + pN1) / 16
105.        PN = - Data.alphaN * Data.Tenv - Data.h * (3 * fN + fN1) / 8
106.
107.        return KN, MN, PN
108.
109.
110.    def calc_coefficients():
111.        A = []

```

```

112.         B = []
113.         C = []
114.         D = []
115.
116.         for i in arange(Data.x0, Data.l, Data.h):
117.             An = Data.Xn_minus_half(i) / Data.h
118.             Cn = Data.Xn_plus_half(i) / Data.h
119.             Bn = An + Cn + Data.p(i) * Data.h
120.             Dn = Data.f(i) * Data.h
121.
122.             A.append(An)
123.             B.append(Bn)
124.             C.append(Cn)
125.             D.append(Dn)
126.
127.         return A, B, C, D
128.
129.
130.     if __name__ == "__main__":
131.         a, b, c, d = calc_coefficients()
132.         # print(a)
133.         # print(b)
134.         # print(c)
135.         # print(d)
136.
137.         k0, m0, p0 = left_boundary_conditions()
138.         # print(k0)
139.         # print(m0)
140.         # print(p0)
141.
142.         kN, mN, pN = right_boundary_conditions()
143.         # print(kN)
144.         # print(mN)
145.         # print(pN)
146.
147.         T = thomas_algorithm(a, b, c, d, k0, m0, p0, kN, mN, pN)
148.         print(T)
149.         x = arange(Data.x0, Data.l, Data.h)
150.
151.         plt.title('Heating the rod')

```

```

152.         plt.grid(True)
153.         plt.plot(x, T, 'r', linewidth=0.5)
154.         plt.xlabel("Length (cm)")
155.         plt.ylabel("Temperature (K)")
156.
157.         plt.savefig("plot.png")
158.
159.         plt.show()

```

Результат работы программы.

$$k(T) = a_1(b_1 + c_1 T^{m_1}), \quad \text{Вт/см К},$$

$$c(T) = a_2 + b_2 T^{m_2} - \frac{c_2}{T^2}, \quad \text{Дж/см}^3\text{К}.$$

$$a_1 = 0.0134, \quad b_1 = 1, \quad c_1 = 4.35 \cdot 10^{-4}, \quad m_1 = 1,$$

$$a_2 = 2.049, \quad b_2 = 0.563 \cdot 10^{-3}, \quad c_2 = 0.528 \cdot 10^5, \quad m_2 = 1.$$

$$\alpha(x) = \frac{c}{x - d},$$

$$\alpha_0 = 0.05 \text{ Вт/см}^2 \text{ К},$$

$$\alpha_N = 0.01 \text{ Вт/см}^2 \text{ К},$$

$$l = 10 \text{ см},$$

$$T_0 = 300\text{К},$$

$$R = 0.5 \text{ см},$$

$$F(t) = 50 \text{ Вт/см}^2 \text{ (для отладки принять постоянным).}$$

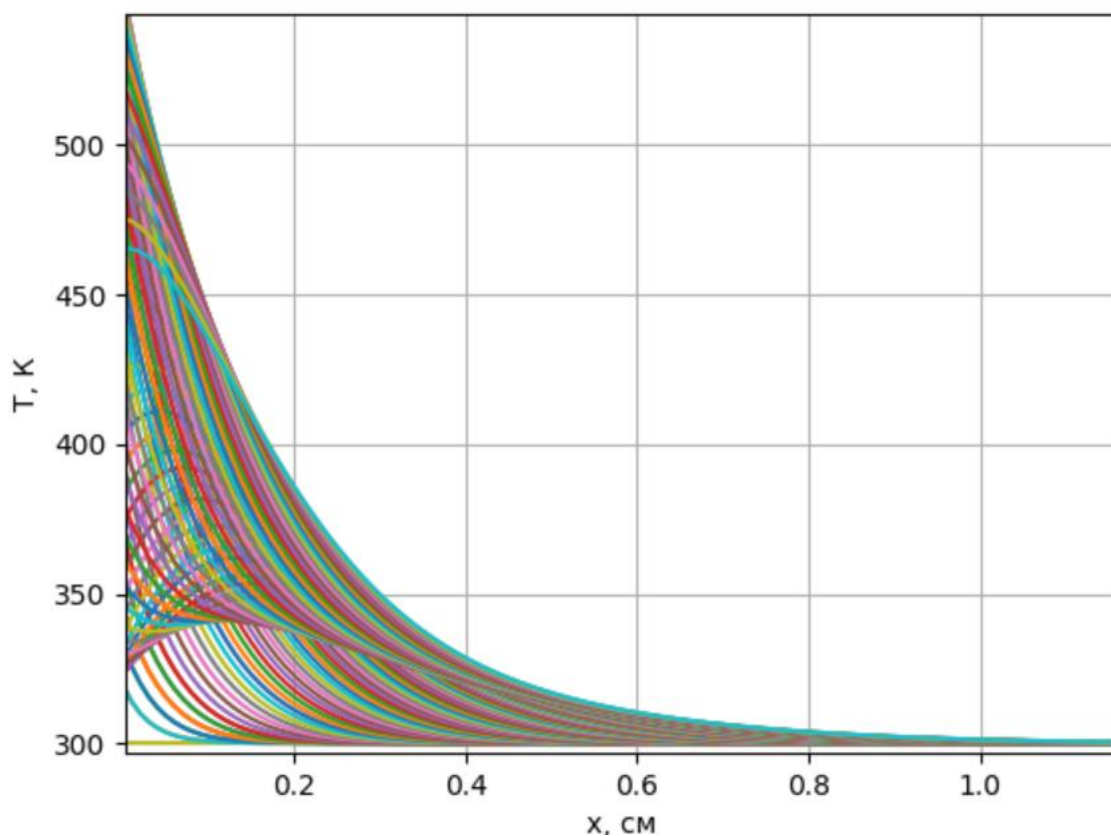


Рисунок 1. График зависимости температуры $T(x)$ от координаты при заданных выше параметрах.

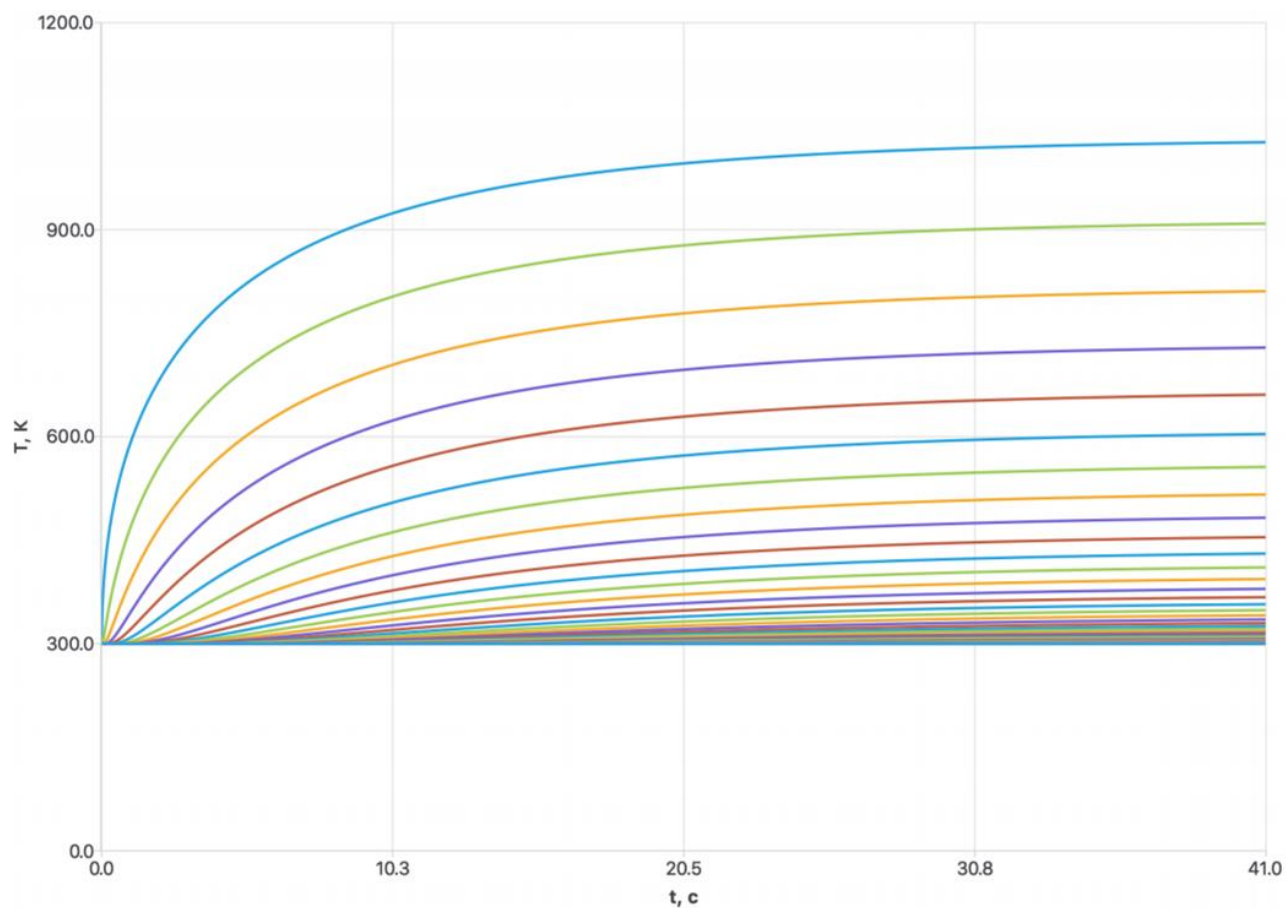


Рисунок 2. График зависимости температуры от времени.

Ответы на вопросы:

1. Какие способы тестирования программы можно предложить?

а. При $F_0 = 0$

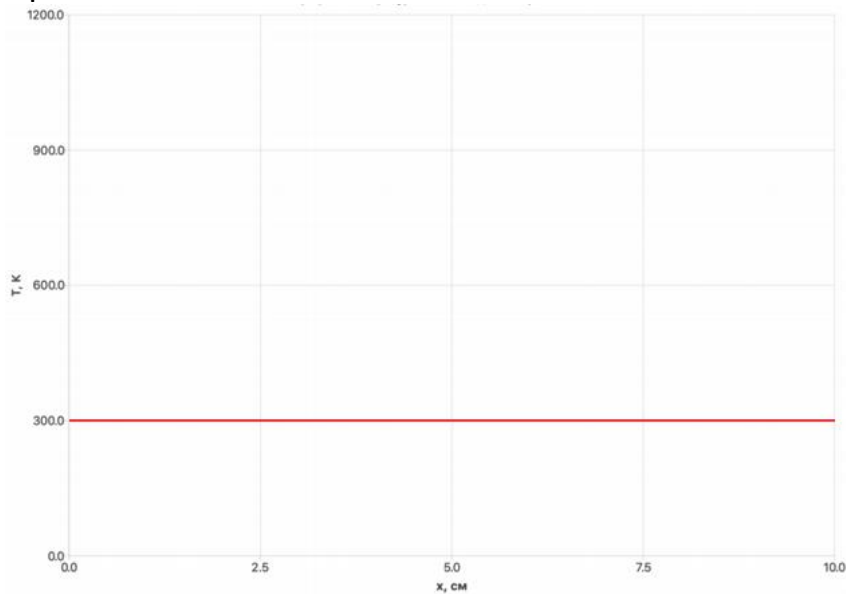


Рисунок 3. График при $F = 0 \frac{\text{Вт}}{\text{см}^2 \cdot \text{К}}$

- б. Можно сравнить графики, получившиеся при выходе на стационарном режиме, с графиком из лабораторной работы №3. Для этого заменяем зависимость коэффициента теплопроводности от T на зависимость только от координаты (то есть приводим к тому же условию, что и в предыдущей лабораторной

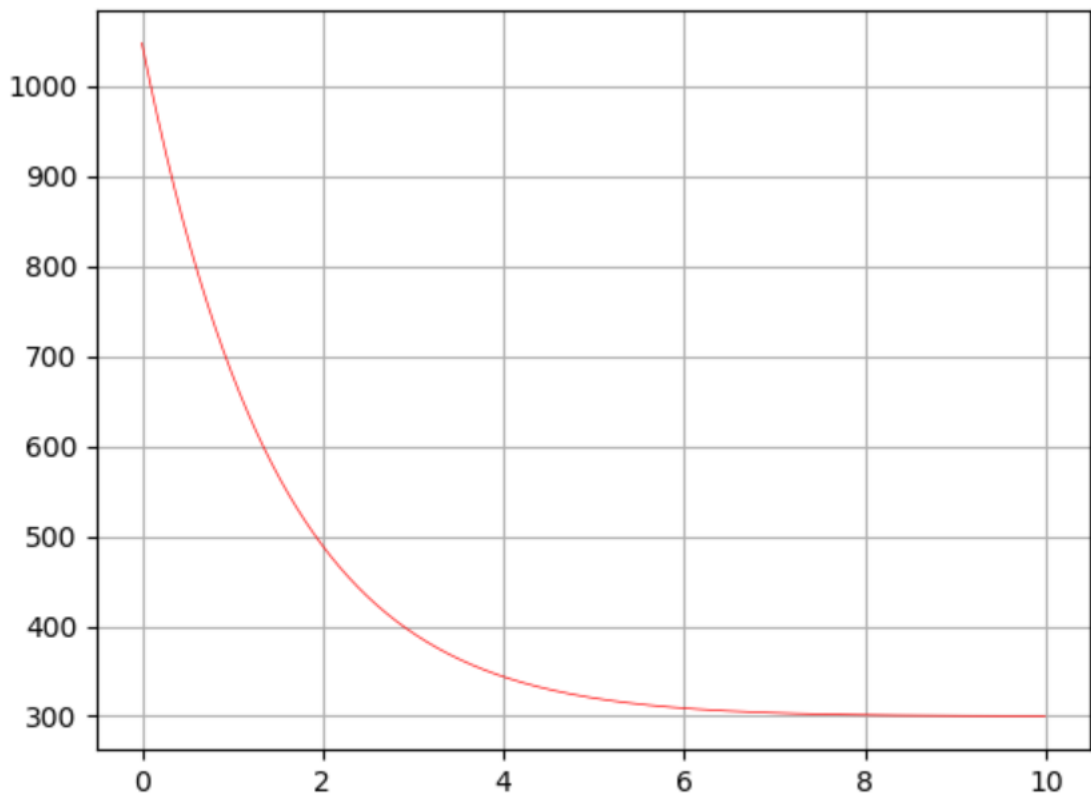


Рисунок 4. График из лабораторной работы 4

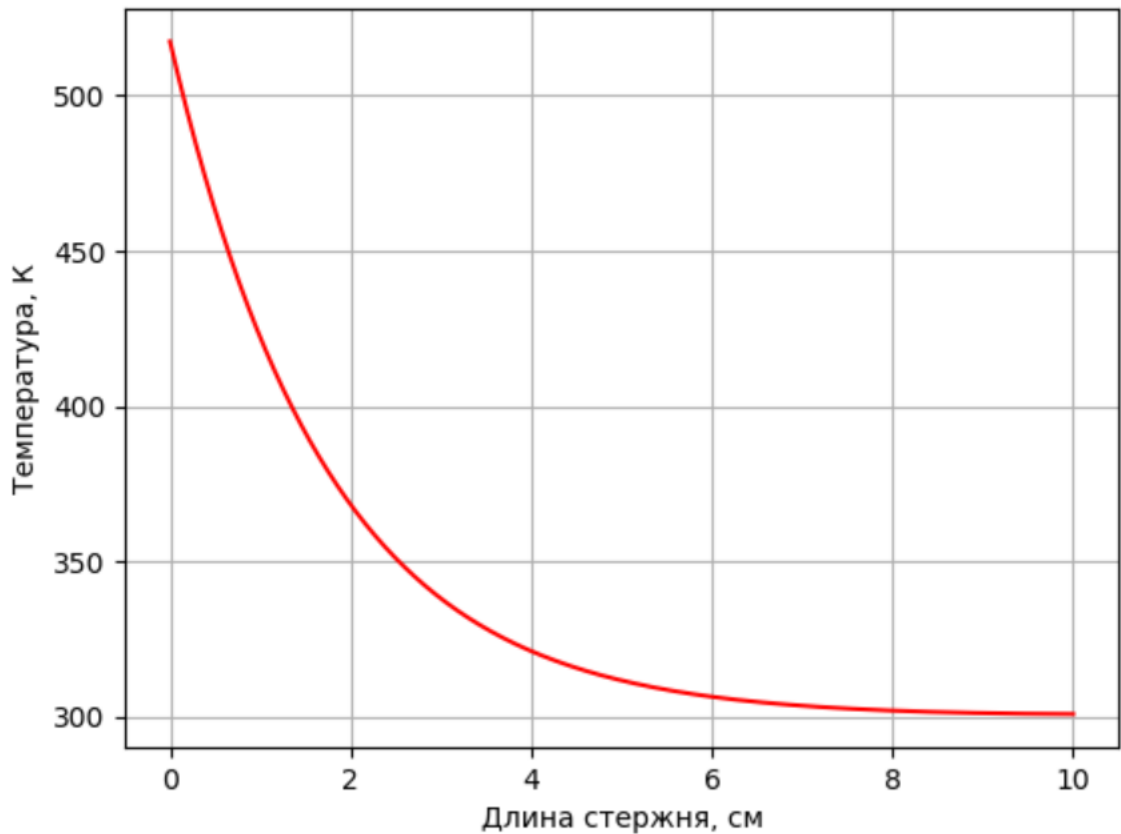


Рисунок 5. График из лабораторной работы 3.

- с. При отрицательном радиусе стержня $R < 0$, должны наблюдаться гармонические колебания.
2. Выполните линеаризацию уравнения (14.8) по Ньютону, полагая для простоты, что все коэффициенты зависят только от одной переменной \bar{y}_n . Приведите линеаризованный вариант уравнения и опишите алгоритм его решения. Воспользуйтесь процедурой вывода, описанной в лекции №8.

$$K_0 y_0 + M_0 y_1 = P_0$$

$$\begin{cases} A_n y_{n-1} - B_n y_n + D_n y_{n+1} = -F_n, & 1 \leq n \leq N-1 \\ K_N y_N + M_{N+1} y_{N+1} = P_N \end{cases}$$

дискретизация (по y_{n-1}, y_n, y_{n+1}):

$$\begin{aligned} & (A_n y_{n-1} - B_n y_n + D_n y_{n+1} - F_n) |_s + A^{s-1} \Delta y_{n-1}^s + \\ & + \left(\frac{\partial A_n}{\partial y_n} y_{n-1} - \frac{\partial B_n}{\partial y_n} y_n - B_n + \frac{\partial D_n}{\partial y_n} y_{n+1} + \frac{\partial F_n}{\partial y_n} \right) |_{s-1} \\ & \Delta y_n^s + D_n^{s-1} \Delta y_{n+1}^s = 0 \end{aligned}$$

каноническая лиз:

$$[A_n \Delta y_{n-1}^s - B_n \Delta y_n^s + D_n \Delta y_{n+1}^s = -F_n, \quad 1 \leq n \leq N-1]$$

т.е.,

$$\begin{cases} A_n = A_n^{s-1} \\ D_n = D_n^{s-1} \\ B_n = \left(-\frac{\partial A_n}{\partial y_n} y_{n-1} + \frac{\partial B_n}{\partial y_n} y_n + B_n - \frac{\partial D_n}{\partial y_n} y_{n+1} + \frac{\partial F_n}{\partial y_n} \right) |_{s-1} \\ F_n = (A_n y_{n-1} - B_n y_n + D_n y_{n+1} - F_n) |_{s-1} \end{cases}$$

для краевых значений: $\Delta y_0^s = 0, \Delta y_N^s$

Методом прогонки находим все Δy_n^s ,
затем все значения заданной функции
при тех. Уточнение (S) не требуется:
 $y_n^s = y_n^{s-1} + \Delta y_n^s$

Задаем начальные приближения y_n^0 в виде
случайных величин y_n с предзаданной погрешностью ϵ и $t = t_{i+1}$

Условие завершения итераций:

$$\max \left| \frac{\Delta y_n^s}{y_n^s} \right| \leq \epsilon, \quad \text{при } n = \overline{0:N}$$